

УДК 539.219.3

## ОПИСАНИЕ РЕЛАКСАЦИОННОГО ПРОЦЕССА ДЛЯ НЕРАВНОВЕСНЫХ ВАКАНСИЙ, СОЗДАННЫХ ОБЛУЧЕНИЕМ

Г. С. Жданов, К. П. Гуров, Т. В. Крюкова

(кафедра физики твердого тела)

При воздействии на сплав малой дозы облучения создается система с повышенной концентрацией неравновесных вакансий. В этом случае теория Даркена взаимной диффузии неприменима, поэтому надо пользоваться уравнениями, выведенными Назаровым и Гуровым [1—3] с помощью формализма дырочного газа [4] с учетом неравновесных вакансий:

$$c_t^A = cAc_{xx}^A + cc^A A_{xx} + 2cA_x c_x^A - Ac^A c_{xx};$$

$$c_t = (Ac^A + Bc^B) c_{xx} - cAc_{xx}^A - cBc_{xx}^B - cc^A A_{xx} - cc^B B_{xx} - 2cA_x c_x^A - 2cB_x c_x^B. \quad (1)$$

Здесь  $c^A$ ,  $c^B$  и  $c$  — концентрации компонентов  $A$ ,  $B$  и вакансий соответственно, величины  $A$  и  $B$  прямо пропорциональны вероятностям обмена атомов  $A$  и  $B$  с вакансией в единицу времени,  $c_t$ ,  $c_x$ ,  $c_{xx}$  — первые и вторые производные по  $t$  и  $x$ .

Ниже мы рассмотрим эволюцию начального распределения неравновесных вакансий вида

$$\Delta c(x, 0) = c_0 e^{-\alpha x} \quad (2)$$

в полубесконечном образце, представляющем собой пространственно-однородный сплав с ОЦК решеткой.

Произведем линеаризацию уравнений (1):

$$c^A(x, t) = c_0^A + u^A(x, t);$$

$$c(x, t) = c_0^c + v(x, t),$$

с  $v/c \ll 1$  и  $u^A/c^A \ll 1$ , где  $u^A(x, t)$  и  $v(x, t)$  — концентрации избыточных атомов и неравновесных вакансий. Отметим, что

$$c^A + c^B + c = 1; \quad u^A + u^B + v = 0. \quad (3)$$

Окончательно получаем

$$u_t^A - D_A u_{xx}^A = -Ac_0^A u_{xx}^A; \quad v_t - Dv_{xx} = -Du_{xx}^A - D_B u_{xx}^B, \quad (4)$$

где  $D = c^A A + c^B B$ ,  $D_A = c(A + c^A \partial A / \partial c^A)$ ,  $D^B$  определяется аналогично.

Если ввести новые переменные

$$\omega^{(1)} = u^A + c^A \frac{A}{D} v; \quad \omega^{(2)} = v - \frac{D_A - D_B}{D} u^A, \quad (5)$$

то из (4) следует, что

$$\omega_t^{(1)} = D^{(1)} \omega_{xx}^{(1)}, \quad \omega_t^{(2)} = D^{(2)} \omega_{xx}^{(2)}, \quad (6)$$

где константа  $D^{(1)} = c \frac{AB}{D} g_{AB}$  (термодинамический множитель  $g_{AB} = 1 + c^A c^B \times \left( \frac{\partial \ln A}{\partial c^A} + \frac{\partial \ln B}{\partial c^B} \right)$  имеет смысл коэффициента взаимной диффузии, а  $D^{(2)} = D + D_A + D_B - D^{(1)}$  описывает быструю подстройку вакансионной подсистемы (см. [5]). Начальные условия для  $\omega^{(1)}$ ,  $\omega^{(2)}$  следуют из (2):

$$\omega^{(1)}(x, 0) = u^A(x, 0) + \frac{c_A^A}{D} c_0 e^{-\alpha x},$$

$$\omega^{(2)}(x, 0) = c_0 e^{-\alpha x} - \frac{D_A - D_B}{D} u^A(x, 0). \quad (7)$$

Граничные условия

$$\begin{aligned} w_x^{(1)}(0, t) &= 0, \\ w^{(2)}(0, t) + \frac{D_A - D_B}{D} w^{(1)}(0, t) &= 0. \end{aligned} \quad (8)$$

Первое обусловлено неподвижностью границы образца вследствие того, что на нее выходят не только вакансии, но и межузельные атомы. Второе следует из того, что поверхность образца является стоком вакансий бесконечной мощности, так что  $v(0, t) = 0$ .

Используя известное решение [6] для (6), с учетом (5), (7), (8), получаем, что

$$\begin{aligned} u^A(x, t) &= \frac{1}{2\sqrt{\pi D^{(1)} t}} \int_0^\infty F_+^{(1)} \left[ u^A(\xi, 0) + \frac{c^A A}{D} c_v e^{-\alpha \xi} \right] d\xi - \\ &\quad - \frac{c^A A}{D} \frac{c_v}{2\sqrt{\pi D^{(2)} t}} \int_0^\infty F_-^{(2)} e^{-\alpha \xi} d\xi; \\ v(x, t) &= \frac{1}{2\sqrt{\pi D^{(2)} t}} \int_0^\infty F_-^{(2)} \left[ c_v e^{-\alpha \xi} - \frac{D_A - D_B}{D} u^A(\xi, 0) \right] d\xi - \\ &\quad - \frac{x(D_A - D_B)}{2\pi D \sqrt{D^{(1)} D^{(2)}}} \int_0^t \frac{1}{\sqrt{\tau(t-\tau)^3}} \exp \left[ -\frac{x^2}{4D^{(2)}(t-\tau)} \right] \times \\ &\quad \times \int_0^\infty \exp \left[ -\frac{\xi^2}{4D^{(1)}\tau} \right] \left[ u^A(\xi, 0) + \frac{c^A A}{D} c_v e^{-\alpha \xi} \right] d\xi d\tau + \\ &\quad + \frac{D_A - D_B}{D} \frac{1}{2\sqrt{\pi D^{(1)} t}} \int_0^\infty F_-^{(1)} u^A(\xi, 0) d\xi, \end{aligned}$$

где

$$F_{\pm}^{(i)} = \exp \left[ -\frac{(x - \xi)^2}{4D^{(i)} t} \right] \pm \exp \left[ -\frac{(x + \xi)^2}{4D^{(i)} t} \right].$$

Для графического представления решения рассмотрим два частных случая:  $D_A \approx D_B$  и  $D_A \gg D_B$  — и зададим начальное распределение  $u^{(A)}(x, 0)$  в явном виде. Учитывая (2) и (3), можно положить

$$u^A(x, 0) = -c_A c_v e^{-\alpha x}, \quad u^B(x, 0) = -c_B c_v e^{-\alpha x}.$$

Примем далее, что  $c^A = c^B = 0,5$ ;  $c_v^e = 10^{-4}$ ,  $c_v = 10^{-3}$ , что согласуется с экспериментальными данными.

Значения коэффициента взаимной диффузии колеблются обычно в пределах  $10^{-11}$ — $10^{-14}$  м<sup>2</sup>/с, так что возьмем  $D^{(1)} = 10^{-12}$  м<sup>2</sup>/с.

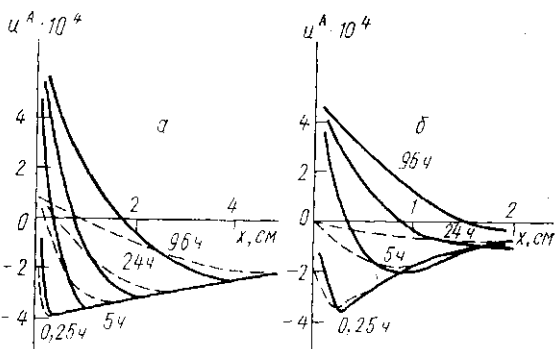
На рисунке показана эволюция кривых распределения отклонения от равновесного значения концентрации атомов сорта А  $u^A(x, t)$  для  $\alpha = 10$  и  $100$  м<sup>-1</sup> и для а)  $D_A \approx D_B = 10^{-13}$  м<sup>2</sup>/с,  $D^{(2)} \approx D = 10^{-9}$  м<sup>2</sup>/с; б)  $D_A \gg D_B$ ,  $D_A = 10^{-13}$  м<sup>2</sup>/с,  $D = 5 \times 10^{-10}$  м<sup>2</sup>/с,  $D^{(2)} \approx D = 5 \cdot 10^{-10}$  м<sup>2</sup>/с.

Для распределения избыточных вакансий и при  $D_A \approx D_B$ , и при  $D_A \gg D_B$  характерно понижение с течением времени максимумов распределения и смещение их в глубь образца вследствие бесконечной мощности стока вакансий на границе.

Как видно из графиков, чем меньше  $\alpha$  в формуле (2), тем дольше сохраняется перепад концентраций. При  $D_A \approx D_B$  первоначальный максимум распределения вакансий равномерно заполняется атомами обоих сортов. Наблюдается релаксация вакансий в чистом виде. При  $D_A \gg D_B$  максимум распределения вакансий заполняют

в основном атомы сорта  $A$ , обогащая собой приповерхностный слой. Вследствие этого в первоначально однородном сплаве возникают градиенты концентраций атомов обоих сортов и начинается процесс взаимной диффузии, который затормаживает релаксацию системы к равновесному распределению. Релаксация неравновесных вакансий, более быстрая, чем характерный масштаб времени взаимной диффузии, приводит к тому, что в конечном состоянии образуется поверхностный слой, обогащенный одним из компонентов бинарного сплава. Этот

Распределение избыточной концентрации атомов сорта  $A$  по глубине в зависимости от времени при  $\alpha=10$  (а) и  $100 \text{ м}^{-1}$  (б),  $D_A \gg D_B$  (сплошные кривые), и  $D_A \approx D_B$  (пунктирные)



результат имеет значение для практики как способ регулирования состава поверхностного слоя.

### СПИСОК ЛИТЕРАТУРЫ

- [1] Назаров А. В., Гуров К. П. // ФММ. 1972. 34. С. 936—941. [2] Назаров А. В., Гуров К. П. // ФММ. 1974. 37. С. 497—503. [3] Назаров А. В., Гуров К. П. // ФММ. 1974. 38. С. 486—492. [4] Гуров К. П. Основания кинетической теории. М., 1966. [5] Гуров К. П., Гусак А. М. // ФММ. 1981. 52. С. 603—611. [6] Тихонов А. Н., Самарский А. А. Уравнения математической физики. М., 1966.

Поступила в редакцию  
03.10.85

ВЕСТН. МОСК. УН-ТА. СЕР. 3, ФИЗИКА. АСТРОНОМИЯ. 1986. Т. 27, № 5

УДК 548.732

## РАЗВИТИЕ ОПТИЧЕСКИХ ПРИНЦИПОВ ДИФРАКЦИИ РЕНТГЕНОВСКИХ ЛУЧЕЙ В НЕПРЕРЫВНО-СЛОИСТЫХ КРИСТАЛЛАХ

А. В. Колпаков, В. И. Пуногов

(кафедра физики твердого тела)

В настоящее время широко используется рентгенодифракционный метод исследования непрерывно-слоистых кристаллов, под которыми понимают объекты с плавно меняющимся периодом кристаллической решетки по толщине образца. Примерами таких кристаллов могут служить неоднородные эпитаксиальные пленки, ионно-имплантированные и диффузионные приповерхностные слои. Для решения обратной задачи восстановления строения искаженных приповерхностных слоев по рентгенодифракционным данным необходимо детальное физическое понимание процесса дифракции на такого рода объектах.

В данной работе на основе общих оптических принципов дифракции дана физическая интерпретация процесса рассеяния рентгеновских лучей в кристаллах с линейным изменением периода решетки (ЛИПР).

Согласно развитой в работах [1, 2] динамической теории дифракции рентгеновских лучей в кристалле произвольной толщины  $l$  с ЛИПР характер дифракции определяется отношением  $l_1/l_{\text{ext}}$ , где  $l_{\text{ext}}$  — длина первичной экстинкции, а  $l_1 = a^{3/2}(\Delta n)^{-1/2}$  — новый характерный параметр, определяющий толщину слоя, в котором рассеянные на разной глубине рентгеновские волны из-за линейного изменения периода решетки  $a$  по толщине на величину  $\Delta n$  получают монотонно нарастающий от 0 до  $\pi$  фазовый сдвиг;  $n$  — порядок дифракционного отражения.

Величина отношения  $l_1/l_{\text{ext}}$  соответствует различным предельным случаям дифракции [2]:  $l_1/l_{\text{ext}} \rightarrow \infty$  — идеальный кристалл;  $l_1/l_{\text{ext}} \gg 1$  — слабые искажения (эikonальное приближение);  $l_1/l_{\text{ext}} \sim 1$  — сильно искаженный кристалл. Кинематическая